

平衡倒立摆系统的鲁棒稳定性分析

曹建福

(西安交通大学自动控制系·西安, 710049) (哈尔滨工业大学信息与网络中心·哈尔滨, 150001)

曹福民

摘要: 本文介绍了一种非线性系统的频域稳定性判据, 这种方法把非线性系统的稳定性问题转化为级数的收敛问题, 文中重点利用该稳定性判据, 讨论了倒立摆系统的稳定性问题, 所得的理论分析结果与实验数据基本吻合.

关键词: 倒立摆系统; 非线性频谱分析; 稳定性; 广义频率响应函数

The Robust Stability Analysis of a Balance Inverted Pendulum

Cao Jianfu

(Department of Automatic Control, Xi'an Jiaotong University·Xi'an, 710049, P.R. China)

Cao Fumin

(Center of Information and Network, Harbin Institute of Technology·Harbin, 150001, P.R. China)

Abstract: The paper introduces a new stability criterion for a class of nonlinear control system, by which the stability of nonlinear system is transformed into the series convergence. With the stability criterion, this paper emphasizedly discusses the stability of a balance inverted pendulum, the theoretically analyzing results obtained are basically according with experimental datas.

Key words: inverted pendulum system; spectral analysis; robust stability; generalized frequency response function

1 引言(Introduction)

倒立摆系统是一个典型的自不稳定系统, 它和火箭的飞行及机器人关节运动有许多相似之处, 因此控制界对它的研究兴趣一直不减, 人们已经提出了许多倒摆控制方案, 并对倒立摆系统的稳定性和镇定问题进行了大量的研究. 但目前在所有的研究成果中几乎都假设铜棒的摆动倾斜角小于 5° , 即接近 0° , 然后再利用线性化方法进行近似处理, 实际上当倒摆受到外界振动干扰时, 倾斜角往往会超过 5° , 甚至到 15° , 这时倒立摆系统已经表现出强烈的非线性特性. 而用非线性系统理论, 对平衡倒立摆系统的稳定性进行严格分析, 这方面的报道还不多见.

本文利用非线性系统的频谱理论, 讨论了倒立摆系统的非线性频域特性, 并重点对它的鲁棒稳定性进行了研究, 所得的理论分析结果与实验数据基本吻合.

2 非线性系统的频域稳定性判据(Frequency stability criterion of nonlinear system)

利用李雅普诺夫方法, 讨论非线性系统的稳定性, 已经有较长的历史, 但对于一般的系统要找到合适的李雅普诺夫函数是很困难的. 文[2~4]利用广义频率响应函数(GFRF), 研究了非线性控制系统的稳定性问题, 并得到了下面的稳定性判据.

定理 1 对于多项式类非线性开环系统

$$\begin{aligned} & \sum_{n=1}^N \left[\sum_{p_1=0}^M \cdots \sum_{p_n=0}^M \left(a_{n,p_1,\dots,p_n} \prod_{i=1}^n D^{p_i} y(t) + \right. \right. \\ & \left. \sum_{p_{n+1}=0}^M \cdots \sum_{p_{2n}=0}^M b_{n,p_1,\dots,p_{2n}} \prod_{i=1}^n \prod_{k=n+1}^{2n} D^{p_i} y(t) D^{p_k} u(t) + \right. \\ & \left. \left. c_{n,p_1,\dots,p_n} \prod_{i=1}^n D^{p_i} u(t) \right) \right] = 0. \end{aligned} \quad (1)$$

式中 D 表示微分算子, M 为最大的微分阶数, N 是最大的乘积次数, a, b, c 是系数, u 和 y 分别是输入和输出变量. $\hat{h}_n(j\omega_1, \dots, j\omega_n)$ 表示其 n 阶 GFRF, $A_1(s)$ 表示线性部分的传递函数, 如果

1) 任意 $n \in \mathbb{N}$, $\hat{h}_n(j\omega_1, \dots, j\omega_n)$ 是真有理分式;

2) $A_1(s) = \sum_{p_1=0}^M a_{1,p_1} s^{p_1}$ 是稳定多项式, 即 A_1 的所有零点都在 S 平面上的左半开平面上;

3) GFRF 范数级数 $\{\sum_{i=1}^n \|\hat{h}_i\|_\infty\}$ 是收敛的, 那么非线性开环系统是 L_2 稳定的.

这个稳定性判据条件, 把非线性系统的稳定性问题转化为级数的收敛问题.

定理 2 对于非线性闭环控制系统, r 为参考输入信号, $\hat{h}_n(\omega_1, \dots, \omega_n)$ 表示对象的 GFRF, $\hat{s}_n(\omega_1, \dots, \omega_n)$ 表示控制器的 GFRF, 如果

1) 对 $n \in \mathbb{N}$, $\hat{h}_n(\omega_1, \dots, \omega_n)$ 和 $\hat{s}_n(w_1, \dots, w_n)$ 是 ω_i 的真有理分式, $i = 1, 2, \dots, n$;

2) 相应的线性闭环系统是 L_2 稳定;

3) 令

$$\|\hat{h}_n\|_\infty = \sup_{\omega_1, \dots, \omega_n} |\hat{h}_n(\omega_1, \dots, \omega_n)| = \beta_n,$$

$$\forall n \in \mathbb{N},$$

$$\|\hat{s}_1\|_\infty = \sup_{\omega_1} |\hat{s}_1(\omega_1)| = \lambda_1 > 0,$$

$$\|\hat{s}_n\|_\infty = \sup_{\omega_1, \dots, \omega_n} |\hat{s}_n(\omega_1, \dots, \omega_n)| = \lambda_n < \alpha_n \lambda_1^n, \quad n \geq 2,$$

$$\varphi_1 = \beta_1, \quad \varphi_n = \sum_{m=1}^n \sum_{k_1+\dots+k_m=n} \beta_m \alpha_{k_1} \cdots \alpha_{k_m}, \\ n \geq 2, \quad k_i \in \mathbb{N},$$

$$\|g_1\|_\infty = \sup_{\omega_1} |(1 + \hat{h}_1(\omega_1))\hat{s}_1(\omega_1))^{-1}| = \rho_1 > 0,$$

$$\theta_1 = 1, \quad \theta_n = \rho_1 \sum_{m=2}^n \sum_{k_1+\dots+k_m=n} \varphi_m \lambda_1^m \theta_{k_1} \cdots \theta_{k_m}, \\ n \geq 2, \quad k_i \in \mathbb{N},$$

级数 $\sum_{m=1}^\infty \varphi_m \lambda_1^m$, $\sum_{n=1}^\infty \theta_n \rho_1^n$ 是收敛的;

4) $\hat{r} \in H_1(-\infty, \infty)$, 即输入信号频谱是绝对可积, 那么跟踪系统是闭环内部 L_2 稳定.

3 单摆系统的非线性频谱分析 (Nonlinear spectral analysis of single pendulum)

单摆系统的运动方程为:

$$\frac{d^2\theta}{dt^2} + \frac{\rho}{mL^2} \frac{d\theta}{dt} \pm \frac{g}{L} \sin\theta = \frac{1}{mL^2} u(t), \quad (2)$$

其中, ρ 为摆杆运动的阻尼系数, L 为相对摆长, g 为重力加速度, u 是施加给摆杆的作用力矩, 由泰勒级数知, $\sin\theta = \theta - \frac{\theta^3}{3!} + \frac{\theta^5}{5!} - \dots$, 取前两项代入到式(2)中得

$$\frac{d^2\theta}{dt^2} + \frac{\rho}{mL^2} \frac{d\theta}{dt} \pm \frac{g}{L} \theta \mp \frac{g}{3!L} \theta^3 = \frac{1}{mL^2} u(t). \quad (3)$$

$$\text{令 } \alpha = \frac{1}{mL^2}, \quad b = \frac{\rho}{mL^2}, \quad c = \pm \frac{g}{L},$$

则非线性微分方程(3)可变为

$$\ddot{\theta} + b\dot{\theta} + c\theta - \frac{c}{6}\theta^3 = \alpha u(t). \quad (4)$$

式(4)中, $N = 2, M = 3$, 属于纯输出非线性系统, 由 GFRF 变换算法, 得

$$\hat{h}_1(\omega_1) = \frac{\alpha}{-\omega_1^2 + b\omega_1 j + c},$$

$$\hat{h}_2(\omega_1, \omega_2) = 0,$$

$$\hat{h}_3(\omega_1, \omega_2, \omega_3) =$$

$$\frac{c/6}{-(\omega_1 + \omega_2 + \omega_3)^2 + b(\omega_1 + \omega_2 + \omega_3)j + c} \cdot \\ \hat{h}_1(\omega_1)\hat{h}_1(\omega_2)\hat{h}_1(\omega_3). \quad (5)$$

很显然当 c 为负时, 一阶特征多项式 $A_1(s)$ 是不稳定的, 由开环系统稳定性的判据知上拉摆是自不稳定的系统, 对于下拉摆即当 c 为正时, 一阶特征多项式 $A_1(s)$ 是稳定的, 这时开环系统的稳定性还与高阶 GFRF 相关. 若参数取为 $L = 4, m = 1, \rho = 0.8$, 那么下拉摆的运动方程为:

$$\frac{d^2\theta}{dt^2} + 0.05 \frac{d\theta}{dt} + 2.45\theta - 0.41\theta^3 = u(t). \quad (6)$$

这时它的 GFRF 是

$$\begin{aligned} \hat{h}_1(\omega_1) &= \frac{1}{-\omega_1^2 + 0.05\omega_1 j + 2.45}, \\ \hat{h}_2(\omega_1, \omega_2) &= 0, \\ \hat{h}_3(\omega_1, \omega_2, \omega_3) &= \\ &\frac{0.41 \cdot \hat{h}_1(\omega_1)\hat{h}_1(\omega_2)\hat{h}_1(\omega_3)}{-(\omega_1 + \omega_2 + \omega_3)^2 + 0.05(\omega_1 + \omega_2 + \omega_3)j + 2.45}. \end{aligned} \quad (7)$$

由定理 1, 研究下拉摆的稳定性问题: 1) n 阶 GFRF 是真有理分式; 2) 相应的线性部分是稳定的; 3) $\rho_1 = 12.78, \rho_2 = 0, \rho_3 = 5.2395, \theta_1 = 1, \theta_2 = 0, \theta_3 = 5.2395, \theta_4 = 0, \theta_5 = 0, \theta_6 = 27.45, \dots$, 然后

经过循环验证知, 级数 $\sum_{n=1}^\infty \theta_n \rho_1^n$ 是发散的, 那么由定理知此时下拉摆可能是稳定的, 也可能是不稳定的, 因为此时阻尼系数较小, 下拉摆几乎做等幅振荡运动, 幅值的衰减量较小. 若将 ρ 值增大, 当 $\rho > 8$ 时, $\rho_1 = 1.2924, \rho_2 = 0, \rho_3 = 0.5307, \theta_1 = 1, \theta_2 = 0, \theta_3 = 0.5307, \theta_4 = 0, \theta_5 = 0, \theta_6 = 0.2816, \dots$, 经过循环验证得, 级数 $\sum_{n=1}^\infty \theta_n \rho_1^n$ 是收敛的, 由定理 1 知此时下拉摆是稳定的, 这与实际情况相符.

从式(7)可以得出, 一阶谱峰频率为 0.25(Hz), 因为下拉摆存在三阶频率响应函数, 并有三阶谱峰频率为 $(0.25, 0, 0), (0, 0.25, 0), (0, 0, 0.25), (-0.25, 0.25, 0.25), (0.25, -0.25, 0.25), (0.25, -0.25, 0.25)$, 因此当给下拉摆施加一个正弦激励时, 在输出响应中必有三阶谐波分量存在, 从实际测量得到的单摆输出频谱图可以很好地说明这个现象.

4 平衡倒立摆系统的非线性数学模型 (Nonlinear mathematical model of balance inverted pendulum)

图1是平衡倒立摆系统的力学示意图,将摆杆视为钢体,长度为 $2L$,一般有 $2\sim3m$, M 表示小车,

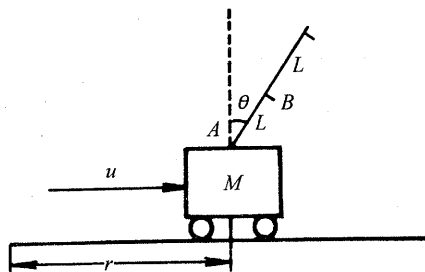


图1 平衡倒立摆系统示意图

Fig. 1 Schematic diagram of balance inverted pendulum

重量为kg,与原点的位移为 r ,给它施加的力矩为 u .摆杆的重量设为 m ,重心在B点,它可绕A点旋转,旋转角设为 θ ,当小车在水平方向运动时,若忽略摩擦力矩的非线性,则由牛顿第二定律得

$$M \frac{d^2r}{dt^2} + m \frac{d^2}{dt^2}(r + L\sin\theta) = u(t). \quad (8)$$

由摆绕A点的旋转运行,得

$$J \frac{d^2\theta}{dt^2} = mgL\sin\theta - \left(m \frac{d^2r}{dt^2} \right) L\cos\theta, \quad (9)$$

式中, J 是摆杆相对于A点的转动惯量,并且 $J = \frac{4}{3}mL^2$,用 $\sin\theta \approx \theta - \frac{\theta^3}{3!}$, $\cos\theta \approx 1 - \frac{\theta^2}{2!}$ 代入式(8)和式(9),则有

$$(M+m)\ddot{r} + mL\ddot{\theta} - mL\theta\dot{\theta}^2 - \frac{mL}{2}\theta^2\ddot{\theta} = u(t). \quad (10)$$

将式(10)代入式(9),并忽略包含 $\theta^4 \cdot \dot{\theta}$ 和 $\theta^3 \cdot \dot{\theta}^2$ 项,得

$$\begin{aligned} \ddot{\theta} - \frac{3(M+m)}{(4M+m)L}\theta + \frac{(M+m)}{2(4M+m)L}\theta^3 + \frac{3m}{4M+m}\theta\dot{\theta}^2 + \\ \frac{3m}{4M+m}\theta^2\ddot{\theta} + \frac{3}{(4M+m)L}u - \frac{3m}{2(4M+m)L}u\dot{\theta}^2 = 0. \end{aligned} \quad (11)$$

式(11)是摆杆旋转运动的微分方程描述,很显然这是一个单输入单输出多项式类非线性系统, $M=3$, $N=3$.选定参数 $M=0.145\text{kg}$, $m=0.03\text{kg}$, $L=0.125\text{m}$,得到下式

$$\begin{aligned} \ddot{\theta} - 67.578\theta + 11.2455\theta^3 + 0.1475\theta\dot{\theta}^2 + \\ 0.1475\theta^2\ddot{\theta} + 39.3185u - 19.66\theta^2u = 0. \end{aligned} \quad (12)$$

这个回路相应的线性系统方程是 $\ddot{\theta} - 67.568\theta + 39.3185u = 0$,线性传递函数为

$$\hat{h}_1(s) = \frac{-39.3185}{s^2 - 67.568}. \quad (13)$$

$$\hat{h}_3(j\omega_1, j\omega_2, j\omega_3) = -A_1^{-1}(j(\omega_1 + \omega_2 + \omega_3)) [A_3(j\omega_1, j\omega_2, j\omega_3) \cdot \hat{h}_1(j\omega_1)] .$$

从式(13)可看出,它有两个极点,其中一个在S右半平面上,因此倒立摆车是一个自不稳定系统.倒立摆车加上滑轮、伺服电机、功率放大器和控制器,组成的自动平衡倒立摆系统,文[1]所构造的控制器是线性控制器,设它的微分方程描述形式为

$$S(\ddot{\theta}, \dot{\theta}, \theta, \ddot{r}, \dot{r}, r, u) = 0. \quad (14)$$

其中 S 为线性算子,在这个控制器中输出变量 θ 和 r 是交互作用的.如果运动位移可以无限长,即让倒摆在圆轨道上运动的话,上述倒立摆控制器去掉变量 r 的作用后仍能稳定,这时控制器变为 $S(\ddot{\theta}, \dot{\theta}, \theta, u) = 0$,该控制器传递函数为

$$\hat{s}(s) = \frac{\hat{u}(s)}{\hat{\theta}(s)} = \frac{as^2 + bs + c}{(T_1s + 1)(T_2s + 1)(T_3s + 1)}. \quad (15)$$

式(15)中的时间常数 T_1 , T_2 ,和 T_3 都比较小,故文[1]在讨论时略去了这三个一阶惯性环节的作用.此时,平衡倒立摆系统的方框图如图2所示,系统分成了两个独立的回路,图中 S 表示控制器算子, G 为摆角 θ 回路的算子, F 表示位移 r 回路的算子,下面将主要分析摆角 θ 回路的频率特性和稳定性.

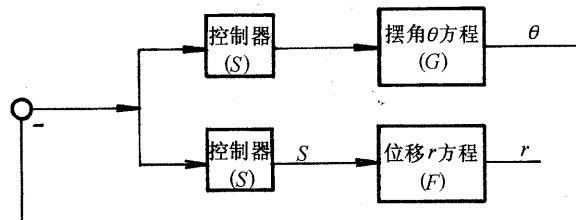


图2 自动平衡倒立摆系统方框图

Fig. 2 Block diagram of balance inverted pendulum

5 自动平衡倒立摆系统的非线性频谱分析 (Nonlinear spectral analysis of automatic balance inverted pendulum)

由式(12)很明显看出, $\theta\dot{\theta}^2$ 项和 $\theta^2\ddot{\theta}$ 项的系数与其它项相比较小,因此在下面的讨论中略去它们对回路的影响,而采用下面的微分方程

$$\ddot{\theta} - 67.578\theta + 11.2455\theta^3 + 39.3185u - 19.66\theta^2u = 0. \quad (16)$$

式(16)描述的系统属于多项式类非线性系统, $M=2$, $N=3$,并存在纯输出项和乘积项.由多项式类非线性系统 GFRF 的递推算法,可得到倒立摆杆旋转运动的 GFRF 为

$$\hat{h}_1(j\omega_1) = \frac{39.3185}{-\omega_1^2 + 67.568}, \quad \hat{h}_2(j\omega_1, j\omega_2) = 0,$$

$$\hat{h}_1(j\omega_2) \cdot \hat{h}_1(j\omega_3) + B_{2,1}(j(\omega_1 + \omega_2), j\omega_3) \cdot \hat{h}_1(j\omega_1) \cdot \hat{h}_1(j\omega_2) = \\ \frac{39.3185^3 \times [-19.66\omega_3^2 + 886]}{[-(\omega_1 + \omega_2 + \omega_3)^2 + 67.568] \cdot (-\omega_1^2 + 67.568) \cdot (-\omega_2^2 + 67.568) \cdot (-\omega_3^2 + 67.568)}.$$

一阶幅频图和相频图见图3和图4.三阶幅频图和相频图见图5和图6,图中令 $f_3 = 0$ (Hz).

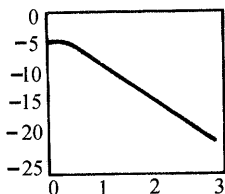


图3 一阶幅频图
Fig. 3 One order gain frequency diagram

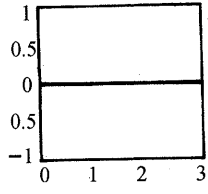


图4 一阶相频图
Fig. 4 One order phase frequency diagram

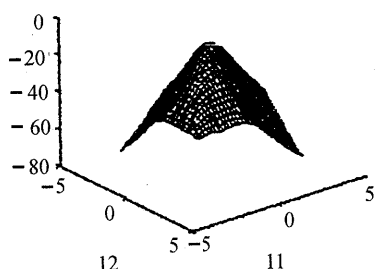


图5 三阶幅频图
Fig. 5 Three order gain frequency diagram

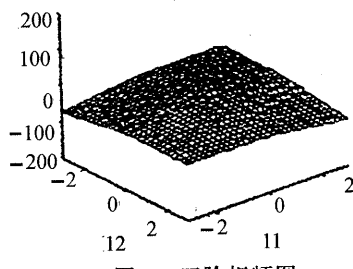


图6 三阶相频图
Fig. 6 Three order phase frequency diagram

现由定理2讨论它的稳定性,很显然对于任意的 n 阶频率响应函数 $\hat{h}_n(\omega_1, \dots, \omega_n)$ 和 $\hat{s}_n(\omega_1, \omega_2, \dots, \omega_n)$ 都是 ω_i 的真有理分式,由实验数据知, $a = 15.6, b = 379.3, c = 0.1331, T_i \ll 1$,那么该系统对应的线性闭环系统的传递函数为

$$\hat{g}_1(s) = [1 + \hat{h}_1(s)\hat{s}_1(s)]^{-1} = \\ -\frac{s^2 - 67.568}{614s^2 + 12554s + 73}.$$

它的特征多项式是 $s^2 + 20.45s + 0.12$,有两个极点 $-20.45, -0.01$,这两个极点都在左半开平面上,因此线性闭环系统是稳定的.

又因

$$\lambda_1 = \|\hat{s}_1\|_\infty = \sup_{\omega_1} |\hat{s}(\omega_1)| = 0.1331,$$

$$\lambda_n = 0, \quad \alpha_n = 0, \quad n \geq 2,$$

$$\beta_1 = \|\hat{h}_1\|_\infty = \sup_{\omega_1} |\hat{h}_1| = 0.58,$$

$$\beta_2 = 0, \quad \beta_3 = 2.56, \quad \dots,$$

$$\rho_1 = \sup_{\omega_1} |(1 + \hat{h}_1(j\omega_1)\hat{s}(j\omega_1))^{-1}| =$$

$$\sup_{\omega_1} \left| \frac{\omega_1^2 + 67.568}{-614\omega_1^2 + 12554\omega_1 j + 73} \right| = 0.0016,$$

$$\varphi_1 = \beta_1 = 0.58, \quad \varphi_2 = 0, \quad \varphi_3 = 2.56, \dots,$$

$$\theta_1 = 1, \quad \theta_2 = 0, \quad \theta_3 = 0.006, \quad \dots,$$

通过循环验证知无穷级数 $\sum_{n=1}^{\infty} \varphi_m \lambda_1^n$ 和 $\sum_{n=1}^{\infty} \theta_n \rho_1^n$ 是收敛的,根据定理2可得到摆杆系统的旋转运动是稳定的,即摆杆能在垂直位置自动保持平衡,依据同样的方法,也可以分析摆车在水平方向上移动时的稳定性.

6 结束语(Conclusion)

本文应用频谱方法,研究了两种单摆系统的频率响应特性和稳定性问题,并且重点讨论了平衡倒立摆系统的鲁棒稳定性,所做的理论分析和实验数据基本一致.通过对这几种实际的系统进行分析,可以看出利用频谱分析方法,可较好地解释非线性因素对系统性能的影响.另外,本文所使用的研究方法,也适用于其它非线性控制系统的稳定性分析.

参考文献(References)

- 1 黄永宣.自动平衡倒置摆系统——一个有趣的经典控制理论教学实验装置.控制理论与应用,1987,11(3):92-96
- 2 Han Chongzhao and Cao Jianfu. Stability of nonlinear control system on generalized frequency response functions. 控制理论与应用, 1996, 13 (5):573-582
- 3 Han Chongzhao and Cao Jianfu. Stability of nonlinear closed-loop control system on generalized frequency response functions. 控制理论与应用, 1997, 14(6):794-802
- 4 曹建福,韩崇昭.非线性控制系统的频域稳定性判据.西安交通大学学报,1998,31(3):27-32

本文作者简介

曹建福 1963年生.1983年毕业于西安交通大学计算机系,1996年在西安交通大学系统工程研究所获博士学位,曾为北京机床所工程师,现为西安交通大学自动控制系副教授.研究兴趣为非线性控制系统,计算机集成制造系统(CIMS)和数控技术.

曹福民 1965年生.1991年毕业于哈尔滨工业大学计算机系并获硕士学位,现为哈尔滨工业大学信息与网络中心讲师.研究兴趣为Internet网络,信息系统的规划与设计和非线性控制系统.